

# شبیه‌سازی عددی دوبعدی انفجار زیر آب نزدیک سطح آزاد آب‌های کم عمق

عبدالحسین دارمیزاده<sup>۱</sup>، محمدرضا انصاری<sup>۲\*</sup>

۱- دکترای مهندسی مکانیک، دانشگاه تربیت مدرس، تهران

۲- دانشیار مهندسی مکانیک، دانشگاه تربیت مدرس، تهران

\* تهران، صندوق پستی ۱۴۳-۱۴۱۱۵، mra\_1330@modares.ac.ir

**چکیده-** هدف از این مقاله توسعه یک روش عددی برای شبیه‌سازی پدیده انفجار زیرسطحی با یک مدل ریاضی دوسیالی است. مدل دوسیالی پنج معادله‌ای کاپیلا و معادلات حالت گاز ایده‌آل برای فاز گاز و استیفنند گاز برای فاز مایع انتخاب شد. برای شبیه‌سازی ناحیه‌های کاویتاسیون با فشار کم از مدل اصلاح شده کاویتاسیون اشمیت استفاده شد. روش عددی گودونوف و حلگر ریمن HLLC برای مدل دوسیالی در حالت دوبعدی توسعه داده شد. نتایج عددی حاصل و مقایسه کیفی آن‌ها با نتایج آزمایشگاهی در دسترس بیانگر توانایی مدل در پیش‌بینی رفتار پیچیده فیزیک انفجار زیرسطحی و اثرات متقابل آن با سطح آزاد است. نتایج حاصله همچنین بیانگر عملکرد خوب و بدون نوسان عددی در شبیه‌سازی نواحی با کاویتاسیون در حالت دوبعدی است.

**کلیدواژگان:** انفجار زیرسطحی، مدل دوسیالی، کاویتاسیون، روش عددی گودونوف

## 2-D numerical simulation of underwater explosion near free surface of shallow water

A.Daramizadeh<sup>1</sup>, M.R.Ansari<sup>2\*</sup>

1- PhD graduate, Mech. Eng., Tarbiat Modares Univ., Tehran, Iran.

2- Assoc. Prof. of Mech. Eng., Tarbiat Modares Univ. Tehran, Iran.

\* P.O.B. 14115-143, Tehran, mra\_1330@modares.ac.ir

**Abstract-** The aim of this paper is to develop a numerical procedure for simulating underwater explosion phenomena with a simplified mathematical and two fluid model. The two fluid Kapila five equation model is selected as the governing equations and the ideal gas and Stiffened gas equations of state (SG-EOS) are used to obtain pressure in the gas bubble and the surrounding water zone, respectively. The modified Schmidt EOS is used to simulate the cavitation regions with low pressure. A Godunov numerical method and HLLC Reiman solver is extended for Kapila two fluid model. The numerical results of the present method and comparing them with available experimental results, verify that the proposed method has good capability of predicting complex physics involved in a spherical underwater explosion and its interaction with free surface. The method also shows a very good performance with no spurious oscillation in cavitation zone simulation in two-dimensional problems.

**Keywords:** Underwater Explosion, Two Fluid Model, Cavitation, Godunov Numerical Method

## ۱- مقدمه

بر فرض تیزبودن فصل مشترک استوار هستند. در این روش، تلاش ویژه و جدگانه‌ای، غیر از حل معادلات میدان جریان، جهت یافتن و اصلاح فصل مشترک به صورت صریح نیاز می‌باشد. در ادامه به چند نمونه از شبیه‌سازی‌های انجام شده با این دسته روش‌ها اشاره می‌شود. پیشه‌ور و امیری‌فر [۴] از روش عددی ALE<sup>۱</sup> برای شبیه‌سازی انفجار زیر آب استفاده کردند. در کار آن‌ها فقط انتشار امواج زیر آب شبیه‌سازی شد. در هیچ یک از این کارها سطح آزاد آب لاحظ نشد. ضعف کلی این روش پیچیدگی بالا، هزینه محاسباتی و زمان CPU بالا و ضعف در شبیه‌سازی پدیده کاویتاسیون است. تاراشیما و تریگومن [۵] روش عددی ترکیبی ردگیری جبهه<sup>۲</sup> و GFM<sup>۳</sup> را برای شبیه‌سازی جریان دوفازی تراکم پذیر پیشنهاد نمودند. این روش زیرمجموعه روش‌های لاگرانژی به حساب می‌آید و به طور ذاتی از پیچیدگی بالایی برخوردار است. لیو و همکاران [۷] از روش عددی SPH<sup>۴</sup> برای شبیه‌سازی پدیده انفجار زیر آب استفاده نمودند. این روش عددی نیز زیرمجموعه روش‌های لاگرانژی به حساب آمده و محدودیت‌های عمدی از نظر پیچیدگی بالا و زمان حل بالا دارد. در این کار نیز اثرات سطح آزاد در نظر گرفته نشد.

دسته دوم روش‌های فصل مشترک انتشاری یا DIM<sup>۵</sup> هستند. در این دسته از روش‌های عددی، فصل مشترک به صورت یک ناحیه دیفیوژن عددی مدل می‌شود که شبیه تبخیر یک عدم پیوستگی در دینامیک گاز است [۹]. در واقع می‌توان گفت که این فضول مشترک انتشاری نوعی مخلوط‌های مصنوعی هستند که به‌واسطه دیفیوژن عددی ایجاد می‌شوند. یکی از مدل‌های مناسب جهت شبیه‌سازی جریان‌های چندفازی مدل دوسیالی پنج‌معادله‌ای کاوش‌یافته یا مدل کاپیلا است [۹-۱۳]. این مدل به عنوان زیرمجموعه روش‌های DIM به حساب می‌آید. این مدل مشتمل بر دو معادله بقای جرم، یک معادله بقای ممنتوم و یک معادله بقای انرژی به صورت پاییستار و یک معادله انتقال کسر حجمی به صورت ناپاییستار است. به تازگی گرایش به ارائه روش عددی مناسب برای مدل پنج‌معادله‌ای افزایش یافته است [۱۰-۱۴]. مارون و

با توجه به توسعه و پیشرفت روزافرون در زمینه تأسیسات دریایی و زیردریایی‌ها و تهدیدات مختلف ناشی از سلاح‌های دریایی، مانند مین‌های دریایی، موضوع شبیه‌سازی و تحقیق در خصوص انفجارهای زیر آب امروزه مورد توجه خاص محققان واقع شده است. از طرفی از دیدگاه زیست‌محیطی دانستن نحوه و دامنه انتشار امواج انفجاری و تأثیرگذاری آن‌ها بر جانداران دریایی از اهمیت بالایی برخوردار است. با توجه به آنکه کارهای آزمایشگاهی و تست‌های عملی انفجار غالباً مشکل و هزینه‌بر بوده [۱] و از طرفی امکان بررسی دقیق توزیع فشار و امواج ضربه‌ای و امواج انساطی رقیق‌ساز به طور کامل میسر نیست، روش‌های عددی به عنوان ابزار مناسبی برای فهم بهتر این پدیده به حساب می‌آیند. در انفجار زیر آب، یک موج ضربه‌ای گذرا با سرعت و فشار بالا به صورت شعاعی انتشار می‌یابد و به دنبال آن گازهای داغ پرفشار انفجاری به صورت حباب منبسط می‌شوند. در نزدیکی سطح آب هم پدیده کاویتاسیون شدید ایجاد می‌گردد [۲]. از طرفی با برخورد موج ضربه‌ای به کف، امواج انعکاسی ایجاد می‌شود که به سمت سطح آب باز می‌گردند. موج ضربه‌ای اولین اثرات آسیبی را به سازه‌های در محدوده آن مانند کشتی‌ها، سکوهای دریایی و پایه‌های آن‌ها و زیردریایی‌ها به‌دلیل فشارهای بالای همراه موج ضربه‌ای ایجاد می‌نماید. پس از اثرات ضربه‌ای سنگین ناشی از موج ضربه‌ای اولیه، به‌دلیل وقوع کاویتاسیون زیر سطح آزاد و اطراف دیوارهای جامد، فشار بسیار پایین ایجاد شده و سبب واردشدن ضربه سنگین کششی در جهت مخالف فشار اولیه ناشی از خلا در زیر سطح آب شده و کشته یا سازه دریایی آسیب جدی می‌بیند. اثرات متقابل موج ضربه‌ای و سازه‌های زیرآبی قبلاً به صورت آزمایشگاهی و محاسباتی بررسی شده است [۴، ۶]. در مقالات روش‌های مختلف عددی جهت مدل‌سازی این جریان‌ها وجود دارند که از درجات متفاوتی از نظر پیچیدگی و قابلیت کاربردی برخوردار هستند. به طور عمومی آن‌ها را از نظر نحوه مدل‌سازی فصل مشترک به دو دسته می‌توان تقسیم‌بندی کرد. دسته اول روش‌هایی هستند که فصل مشترک را به صورت تیز مدل می‌کنند که به اختصار روش‌های SIM<sup>۷</sup><sup>۸</sup> خوانده می‌شوند، روش‌های فصل مشترک تیز، همان‌طور که از نامشان پیداست،

2. Arbitrary Lagrangian Eulerian

3. Front tracking

4. Ghost fluid method

5. Smoothed particle hydrodynamics

6. diffuse interface method

1. Sharp interface methods

- مشترک می‌شود. در فصل مشترک دوفازی سرعت صوت دچار تغییرات زیاد شده که منجر به رفتار غلط آکوستیک موج و عدم همگرایی کد در گام‌های زمانی نخست می‌شود.
- عدم کارایی اغلب معادلات حالت برای فاز مایع در مسائل با ماخ بالا و همچنین در مسائل فشارپایین مانند جریان‌های کاویتاسیون و منفی شدن فشار در این نواحی. نوآوری‌های پژوهش حاضر از جنبه‌های عددی به شرح زیر است:
  - توسعه روش عددی دوبعدی دقت مرتبه دوم و پاییستار با مدل دوسیالی هیپربولیک جهت تسخیر فصل مشترک جریان‌های دوفازی تراکم‌پذیر مایع-گاز.
  - پیشنهاد یک سرعت صوت مناسب که توانایی پیش‌بینی رفتار دینامیک موج ضربه‌ای را در گذر از فصول مشترک مایع-گاز داشته باشد.
  - گسسته‌سازی مناسب ترم ضرایب ناپاییستار در معادلات بقا و معادله انتقال کسر حجمی.
  - پیشنهاد یک معادله حالت مناسب که توانایی پیش‌بینی میدان جریان دوفازی تراکم‌پذیر از ماخ‌های پایین تا ماخ‌های بالا را داشته باشد.
  - ادغام مدل دوسیالی دوفازی با مدل کاویتاسیون اشمیت اصلاح شده به منظور جلوگیری از محاسبه فشارهای منفی در هنگام وجود جریان‌های با کاویتاسیون.

## ۲- مدل دو سیالی و زیرمدل‌های لازم

مدل پنجمعادله‌ای دوسیالی کاپیلا به عنوان مدل کاهش‌یافته مدل باier و نونزیاتو<sup>[۱۷]</sup> است. معادلات این مدل در حالت دوبعدی بدون درنظر گرفتن انتقال حرارت و انتقال جرم به صورت ذیل است:

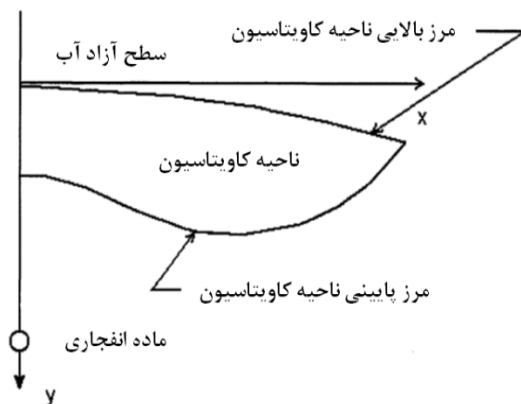
$$\frac{\partial \alpha_i}{\partial t} + U_i \frac{\partial \alpha_i}{\partial x} + V_i \frac{\partial \alpha_i}{\partial y} = \mu(P_1 - P_2) \quad (1)$$

$$\frac{\partial U}{\partial t} + \frac{\partial F(U)}{\partial x} + \frac{\partial G(U)}{\partial y} = 0 \quad (2)$$

$$U = \begin{bmatrix} \alpha_1 \rho_1 \\ \alpha_2 \rho_2 \\ \rho u \\ \rho v \\ \rho E \end{bmatrix} \quad F = \begin{bmatrix} \alpha_1 \rho u \\ \alpha_2 \rho u \\ \rho u^2 + P \\ \rho uv \\ u \cdot (\rho E + P) \end{bmatrix} \quad G = \begin{bmatrix} \alpha_1 \rho v \\ \alpha_2 \rho v \\ \rho uv \\ \rho v^2 + P \\ v \cdot (\rho E + P) \end{bmatrix} \quad (3)$$

- گیلارد<sup>[۱۱]</sup> مدل پنجمعادله‌ای کاهش‌یافته را جهت شبیه‌سازی جریان‌های دوفازی استفاده نمودند. مسائل تست دوبعدی شبیه‌سازی شده در کار آن‌ها شامل مسائل با سرعت پایین بود و اثرات موج ضربه‌ای بر فصول مشترک جریان‌های دوفازی بررسی نگردید. کریفت و همکاران<sup>[۱۲]</sup> فرمولاسیون جدید مدل پنجمعادله‌ای کاپیلا ارائه نمودند. مدل آن‌ها از عملکرد خوبی در مدل‌سازی دوبعدی جریان‌های تراکم‌پذیر گاز-گاز برخوردار است، ولی عملکرد این مدل برای فصول مشترک گاز-مایع به صورت دوبعدی تست نشده است. دلدیک و پاپل اکساندریس<sup>[۱۵]</sup> یک تقریب پاییستار برای مدل پنجمعادله‌ای پیشنهاد نمودند. این روش برای مدل‌سازی جریان‌های دوفازی گاز و جامد یا دوفازی، که از نظر خواص تفاوت زیادی دارند، مناسب است و فقط برای سیالات دوفازی گاز-جامد کاربرد دارد و دارای محدودیت کاربردی است. در این مقاله انتشار امواج ضربه‌ای و کاویتاسیون ایجاد شده ناشی از انفجار زیر آب با مدل دوسیالی پنجمعادله‌ای مدل‌سازی شد. از دیدگاه فصل مشترک بین فازها، انفجار زیر آب دارای فصول مشترک مختلف بین گازهای انفجاری و آب‌وهوای محیط و آب است؛ لذا روش عددی به کار گرفته شده برای شبیه‌سازی بایستی توانایی تسخیر دقیق فصول مشترک را داشته باشد. در کار حاضر، از روش عددی گودونوف و حلگر HLLC<sup>[۱۶]</sup> برای مدل دوسیالی پنجمعادله‌ای کاپیلا<sup>[۸]</sup> استفاده به عمل آمد. برای شبیه‌سازی پدیده کاویتاسیون نیز مدل اصلاح شده کاویتاسیون اشمیت<sup>[۱]</sup> به کار برده شد. چالش‌های عمدۀ و مهم محاسباتی در زمینه مدل‌های دوسیالی مخصوصاً در حالت اندرکنش موج ضربه‌ای و فصل مشترک دوفازی عبارت اند از:
- مشکل در محاسبه و تسخیر موج ضربه‌ای با وجود ترم‌های ضرایب ناپاییستار در معادلات.
  - منفی شدن کسر حجمی، زمانی که میدان جریان دارای امواج ضربه‌ای و امواج انسپاسی قوی باشد. در این حالت گسسته سازی معادله انتقال کسر حجمی مشکل است<sup>[۹]</sup>. این موضوع در جریان‌های کاویتاسیون هم مشکل‌ساز می‌شود.
  - رفتار غیریکنوا سرعت صوت در مخلوط دوفازی<sup>[۱۱]</sup> که منجر به انتقال غیردقیق یا ناممکن موج ضربه‌ای از فصل

### 1. Schmidt modified cavitation model



شکل ۱ شکل نمادین از توزیع ناحیه کم فشار و پدیده کاویتاسیون در زیر سطح آزاد [۱۸]

در کار حاضر، برای غلبه بر این مشکل، از مدل کاویتاسیون اصلاح شده اشمیت برای محاسبه فشار در نواحی کاویتاسیون استفاده می‌شود. روش کار به این ترتیب است که به محض رسیدن فشار به محدوده فشار اشباع مایع، معادله حالت تغییر کرده و مدل کاویتاسیون اصلاح شده اشمیت [۱۹] جهت محاسبه فشار به کار برد. برای مدل پنج معادله‌ای و به طور کلی برای مدل دوسيالی اين کار برای نخستین مرتبه صورت می‌پذيرد. مدل کاویتاسیون اصلاح شده اشمیت به صورت زیر ارائه شده است:

$$P = \begin{cases} Eq.(5) & P \geq P_{\text{sat}} \\ P_{\text{sat}} + P_{\text{gl}} \cdot \log(A) & P_{\varepsilon} < P < P_{\text{sat}} \\ P_{\varepsilon} & P < P_{\varepsilon} \end{cases}$$

$$P_{\text{gl}} = \frac{\rho_1 c_1^r \rho_2 c_2^r (\rho_1 - \rho_2)}{(\rho_1^r c_1^r - \rho_2^r c_2^r)} \quad (6)$$

$$A = \frac{\rho_1 c_1^r \rho_2 c_2^r \cdot (\rho_2 + \alpha \cdot (\rho_1 - \rho_2))}{\rho_2 (\rho_1^r c_1^r - \alpha (\rho_1^r c_1^r - \rho_2^r c_2^r))}$$

با تبعیت از [۱۹] مقدار فشار اشباع ۲۰۰۰ پاسکال لحظه گردید و مقدار  $P_{\varepsilon} = 10^{-7}$  لحظه شد.

### ۳- روش حل عددی

در این مقاله، از روش عددی گودونوف و حلگر ریمان HLLC [۱۶] استفاده شد. در حالت یک بعدی قسمت پاییتار مدل پنج معادله‌ای را می‌توان به صورت ماتریسی به شکل زیر نوشت:

$\alpha, E, P, \mu, \nu, \rho, a$  به ترتیب عبارت‌اند از کسر حجمی، چگالی، سرعت عمودی، سرعت افقی و فشار، انرژی کل و انرژی داخلی. چگالی از طریق رابطه  $\rho = (\alpha_1 \rho_1 + \alpha_2 \rho_2)$  بدست می‌آید. انرژی داخلی مخلوط دوفازی نیز از طریق رابطه  $e = Y_1 \cdot e_1(\rho_1, P) + Y_2 \cdot e_2(\rho_2, P)$  محاسبه می‌شود که  $e = \frac{(\alpha \rho)_K}{\rho}$  است. در کار حاضر اثرات ثقلی به معادله ممتد اضافه شد.

### ۱-۲- معادله حالت و سرعت صوت

در کار حاضر، از معادله حالت استیفنند گاز استفاده شد. در این حالت انرژی داخلی فازها  $e_k = e_k(\rho_k, P)$  بر اساس روابط زیر محاسبه می‌شود:

$$\forall k, \rho_k e_k = \frac{P_k + \gamma_k \cdot P_{\infty,k}}{\gamma_k - 1} \quad (4)$$

در شرایط تعادل فشاری رابطه مورد نیاز برای بستن مدل به صورت زیر است :

$$P(\rho, e, \alpha_k) = \frac{\rho e - \sum_k \frac{\alpha_k \gamma_k P_{\infty,k}}{\gamma_k - 1}}{\sum_k \frac{\alpha_k}{\gamma_k - 1}} \quad (5)$$

برای این مدل سرعت صوت مخلوط براساس رابطه  $c_{eq}^r = Y_1 \cdot c_1^r + Y_2 \cdot c_2^r$  تعریف می‌شود که عبارت از کسر جرمی و سرعت صوت در فاز مربوطه است. برای آب مقدار  $c_k = 10^8$  Pa و برای  $P_{\infty,k} = 10^0$  Pa

### ۲-۲- مدل اصلاح شده کاویتاسیون اشمیت

در انفجار زیر آب به واسطه انعکاس امواج انبساطی قوى از سطح آزاد به سمت داخل آب، فشار به مقادیر بسیار کم کاهش می‌یابد [۲] (شکل ۱). چون بیشتر معادلات حالت گاز استیفنند گاز برای فاز مایع در فشارهای بالا طراحی شده‌اند، غالباً در فشارهای پایین برای فاز آب دچار خطا شده و مقدار فشار ممکن است منفی محاسبه شود. به محض منفی شدن فشار، سرعت گاز به دلیل استفاده از معادله حالت گاز ایده‌آل به صورت عدد مختلط درآمده و به دلیل موهومی شدن عدد، کد به واسطه خطای عددی از حل خارج می‌شود.

#### 1. Stiffened gas equation of state

که  $k$  عبارت از  $L$  و  $R$  یعنی مرزهای چپ و راست سلول است. موج‌های راسترو و چپرو با تبعیت از روش مرجع [۱۷] تخمین زده می‌شود:

$$S_R = \max(u_L + c_L, u_R + c_R) \quad (15)$$

$$S_L = \min(u_L - c_L, u_R - c_R)$$

سرعت موج میانی با استفاده از روش HLL تخمین زده می‌شود:

$$S^* = \frac{(\rho u^* + P)_L - (\rho u^* + P)_R - S_L(\rho u)_L + S_R(\rho u)_R}{(\rho u)_L - (\rho u)_R - S_L \rho_L + S_R \rho_R} \quad (16)$$

با توجه به اینکه در این مدل از آسایش فشار استفاده نشده است، کسر حجمی در طول گذر فصل مشترک ثابت می‌ماند:

$$\alpha_{kR}^* = \alpha_{kR}, \quad \alpha_{KL}^* = \alpha_{KL} \quad (17)$$

ترم ناپایستار ظاهرشده در سمت چپ معادله انتقال فاز  $\bar{u} \cdot \vec{\nabla} \alpha = \operatorname{div}(\alpha \cdot u) - \alpha \cdot \operatorname{div}(u)$  است. ابتدا ترم ناپایستار به صورت زیر بازنویسی می‌شود:

$$\bar{u} \cdot \vec{\nabla} \alpha = \operatorname{div}(\alpha \cdot u) - \alpha \cdot \operatorname{div}(u) \quad (18)$$

با جایگذاری این ترم در معادله (۹)، ترم  $\bar{u} \cdot \vec{\nabla} \alpha$  حذف می‌شود و رابطه انتقال کسر حجمی در حالت یکبعدی به صورت زیر ارائه می‌شود:

$$\frac{\partial \alpha_1}{\partial t} + \frac{\partial(\alpha_1 u)}{\partial x} = (\alpha_1) \frac{\partial u}{\partial x} \quad (19)$$

که سمت چپ این معادله به صورت پایستار است. فرم گسسته‌سازی شده این معادله با استفاده از روش گودونوف برای ترم‌های جابه‌جایی به صورت زیر بدست می‌آید:

$$\alpha_{j+\frac{1}{2}}^{n+1} = \alpha_j^n - \frac{\Delta t}{\Delta x} [(u \alpha_{j+\frac{1}{2}}^*)_{j+\frac{1}{2}} - (u \alpha_{j-\frac{1}{2}}^*)_{j-\frac{1}{2}} - \alpha_j \cdot (u_{j+\frac{1}{2}}^* - u_{j-\frac{1}{2}}^*)] \quad (20)$$

این نحوه گسسته‌سازی تا حد زیادی مثبت‌ماندن کسر حجمی را تضمین می‌نماید و بر دقت محاسبه کسر حجمی می‌افزاید [۹]. برای ارتقای دقت مدل‌سازی از مرتبه ۱ به مرتبه ۲، از تکنیک MUSCL [۱۶] استفاده شد. برای توسعه شبیه‌سازی به دو بعدی از روش حجم محدود و شبکه ساده با سازمان مربعی استفاده شد. جزئیات این روش توسط انصاری و دارمی‌زاده [۱۰] شرح داده شده است.

$$u = \begin{bmatrix} \alpha_1 \rho_1 \\ \alpha_1 \rho_1 \\ \rho u \\ \rho E \end{bmatrix}, \quad f = \begin{bmatrix} \alpha_1 \rho_1 u \\ \alpha_1 \rho_1 u \\ \rho u^* + P \\ u(\rho E + P) \end{bmatrix} \quad (7)$$

$$\frac{\partial u}{\partial t} + \frac{\partial f}{\partial x} = 0 \quad (8)$$

$$\frac{\partial \alpha}{\partial t} + u \frac{\partial \alpha}{\partial x} = 0 \quad (9)$$

براساس روش عددی گودونوف گسسته‌سازی به ترتیب زیر انجام می‌شود:

$$u_j^{n+1} = u_j^n - \frac{\Delta t}{\Delta x} [f(u^*(u_j^n, u_{j+1}^n)) - f(u^*(u_{j-1}^n, u_j^n))] \quad (10)$$

روش عددی گودونوف دارای محدوده پایداری خطی است. برای سیستم معادلات (۸) و (۹) شرایط زیر به کار برده می‌شود:

$$\Delta t = C_{\text{cfl}} \frac{\Delta x}{S_{\text{max}}^n} \quad (11)$$

که  $\Delta x$  فاصله گره‌ها،  $S_{\text{max}}^n$  سریع‌ترین موج در گام زمانی  $n$  و ضریب کورانت که  $C_{\text{cfl}} = (0, 1]$  است. یکی از انتخاب‌های مطمئن براساس سریع‌ترین موج است که بیشترین کاربرد را توسط محققان داشته است. این رابطه به شرح زیر می‌باشد:

$$S_{\text{max}}^n = \max_i \left\{ |u_i^n| + c_i^n \right\} \quad (12)$$

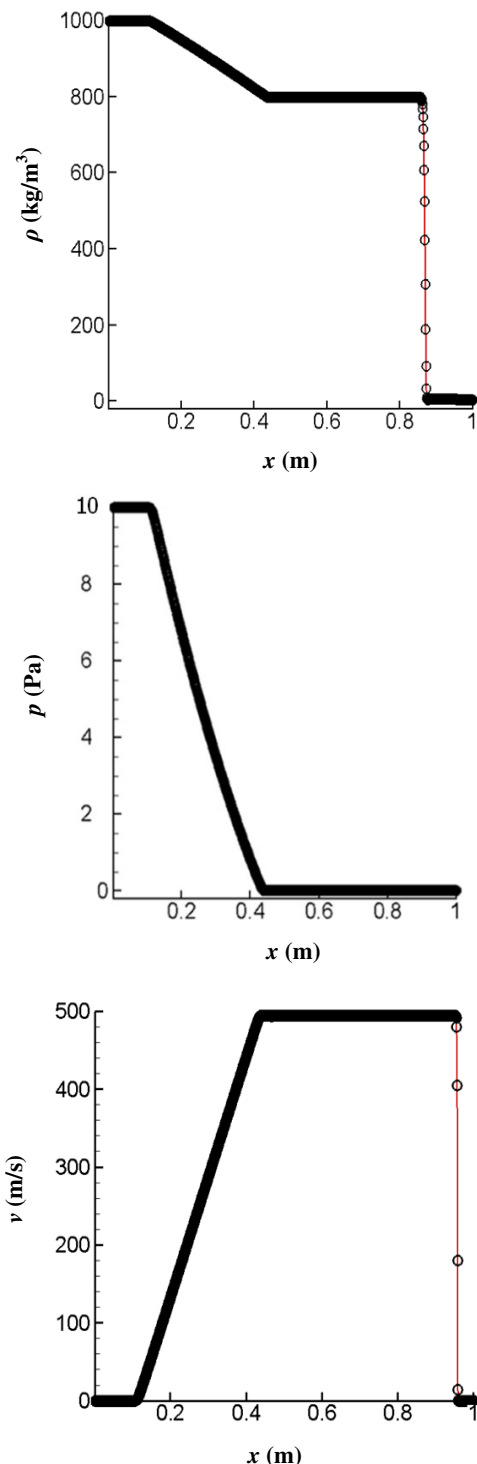
شار درون سلول حلگر ریمان HLLC توسط تورو [۱۶] طبق رابطه (۱۳) ارائه شده است:

$$F_{j+\frac{1}{2}}^{\text{HLLC}} = \begin{cases} f(u_L) & 0 \leq S_L \\ f(u_L^*) = f(u_L) + S_L(u_L^* - u_L) & S_L \leq 0 \leq S^* \\ f(u_R^*) = f(u_R) + S_R(u_R^* - u_R) & S^* \leq 0 \leq S_R \\ f(u_R) & 0 \geq S_R \end{cases} \quad (13)$$

بردار پایستار در ناحیه میانی یعنی در ناحیه بین موج‌های راسترو و چپرو به شرح ذیل نوشته می‌شود:

$$U_k^* = \begin{bmatrix} \alpha_1 \rho_1 \frac{S_k - u_k}{S_k - S^*} \\ \alpha_1 \rho_1 \frac{S_k - u_k}{S_k - S^*} \\ \rho \frac{S_k - u_k}{S_k - S^*} S^* \\ \rho \frac{S_k - u_k}{S_k - S^*} \left[ E_k + (S^* - u_k) \times \right. \\ \left. \rho \frac{S_k - u_k}{S_k - S^*} \left[ S^* + \frac{P_k}{\rho_k (S_k - u_k)} \right] \right] \end{bmatrix} \quad (14)$$

با قطر ۱ سانتی‌متر مدل‌سازی شد که از آن انرژی  $25/5 \text{ J/m}^2$  آزاد می‌شود.



شکل ۲ لوله ضربه گاز-مایع، مقایسه نتایج عددی (نشانه) با نتایج حل دقیق [۹] (خط توپر) و تعداد شبکه ۱۰۰۰ (از بالا به پایین: چگالی مخلوط دو fazی، فشار و سرعت)

#### ۴- مسائل تست و اعتبارسنجی

در این قسمت مسائل تست استاندارد، که شامل فصول مشترک است، شامل لوله ضربه گاز-مایع خالص، انفجار یک ماده انفجاری زیر سطح آزاد و انفجار یک سیلندر هوای پر فشار زیر سطح آزاد شبیه‌سازی و تحلیل شد.

#### ۴- لوله ضربه هوای-آب

این مسئله شامل یک لوله ضربه می‌باشد که سمت چپ آن با مایع فشار بالا و سمت راست آن با هوا پر شده است. این مسئله آزمایش دارای حل دقیق [۹] است. هر سیال توسط معادله حالت استینفند-گاز مشخص می‌شود. شرایط اولیه این مسئله طبق جدول ۱ قابل بیان است. در شکل ۲ حل عددی مدل ۵ معادله‌ای با حل حقیقی<sup>۱</sup> معادلات اویلر [۹] مقایسه می‌شود.

در شکل ۲ از تعداد شبکه یکنواخت ۱۰۰۰ استفاده شد. مقایسه نتایج عددی و حل حقیقی در هر دو شکل در زمان  $240 \mu\text{s}$  انجام شده است. همان‌طور که در شکل ۲ دیده می‌شود، در این مسئله، موج‌های تراکمی قوی انتشار می‌باشد. جواب‌های به دست آمده کاملاً پایدار بوده و تطابق عالی بین نتایج عددی و حل دقیق آن مشهود است که بیانگر توانایی بالای مدل است.

جدول ۱ شرایط اولیه مسئله لوله ضربه

$X > 0/V$		$1 < X < 0/V$		متغیر
آب	هوای	آب	هوای	
۱۰۰۰	۱	۱۰۰۰	۱	$\rho(\text{kg/m}^3)$
.	.	.	.	$u(\text{m/s})$
$10^9$	$10^9$	$10^5$	$10^5$	$P(\text{Pa})$
$10^{-6}$	$10^{-6}$			$\alpha$

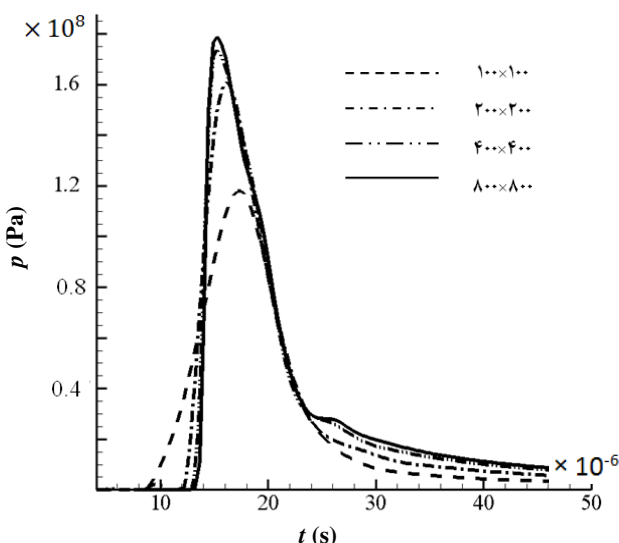
#### ۴-۲- انفجار ماده منفجره ${}^2\text{AgN}_3$

در این قسمت، یک مسئله دوبعدی انفجار زیرسطحی در نظر گرفته شد. این پدیده به تازگی توسط کلین و همکاران [۲۰] به صورت تجربی مطالعه شد و براساس دانش نویسنده جز جدیدترین و محدود نتایج در دسترس به حساب می‌آید. در این مسئله، انفجار ۱۰ میلی‌گرم  $\text{AgN}_3$  به صورت یک هسته کروی

1. Exact
2. Silver Azide

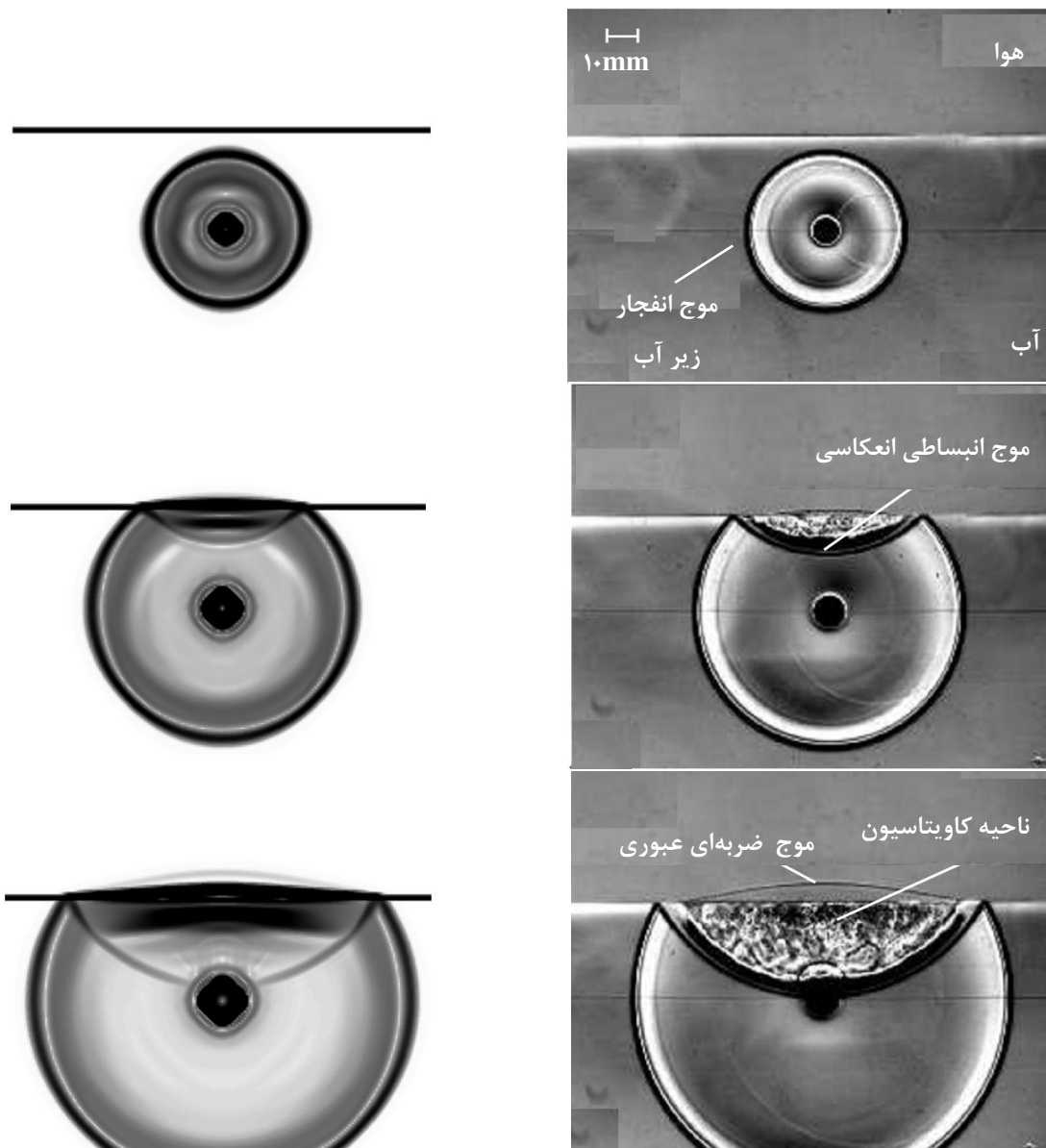
۴-۳- انفجار سیلندر پرفشار هوا زیر آب با سطح آزاد

در این قسمت، نتایج شبیه‌سازی عددی اثرات متقابل انفجار یک سیلندر هوای متراکم پرفشار در زیر آب با سطح آزاد ارائه می‌شود. این مسئله توسط مرجع [۱۴] نیز شبیه‌سازی شده است. روش عددی به کار گرفته شده در این مرجع ضد دیفیوژن و لاگرانژی است. این مسئله، از آن جهت که امواج تراکمی و انبساطی قوی و دو فصل مشترک در سطح آزاد و دیگری درون آب دارد، جز مسائل مشکل به حساب می‌آید. میدان محاسباتی این مسئله شامل یک مستطیل به ابعاد  $5 \times 5$  متر بوده و عمق آب  $1/5$  متر است و سیلندر پرفشار با شعاع  $0.2$  متر در عمق  $0.3$  متر زیر سطح آزاد آب قرار دارد (شکل ۷). شرایط اولیه این مسئله به شرح جدول ۲ است. شرایط مرزی در کف به صورت مرز دیواره و در بقیه جاهای به صورت شرایط برون‌بابی لاحظ شده است. نتایج به صورت دیاگرام شلرین در زمان‌های  $0/2$ ،  $0/4$ ،  $0/85$  و  $1/2$  میلی‌ثانیه در شکل ۸ نشان داده شده است. ابتدا یک موج ضربه‌ای قوی به صورت دایره‌ای از فصل مشترک سیلندر جدا می‌شود. حباب هوا شروع به انبساط می‌کند و سطح آزاد آب را به سمت بالا پرتاب می‌کند. همان‌طور که در زمان‌های  $0/85$  و  $1/2$  میکرو‌ثانیه دیده می‌شود، مقداری از موج ضربه‌ای از محیط آب عبور کرده و به هوا منتقل می‌شود. وقتی که موج ضربه‌ای به دیواره جامد برخورد می‌کند، منعکس می‌شود و یک ناحیه پرفشار پشت موج ضربه‌ای ایجاد می‌شود.

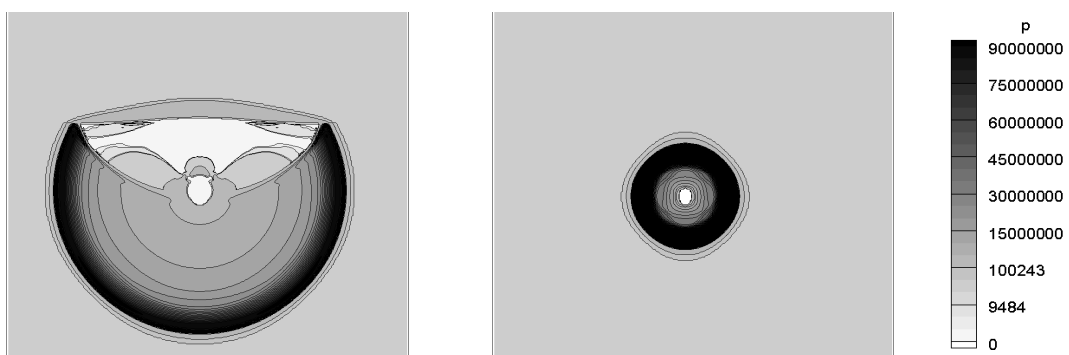


شکل ۳ تاریخچه زمانی تغییرات فشار در موقعیت مکانی  $(0/175m, 0/0875m)$  به ازای تعداد شبکه مختلف

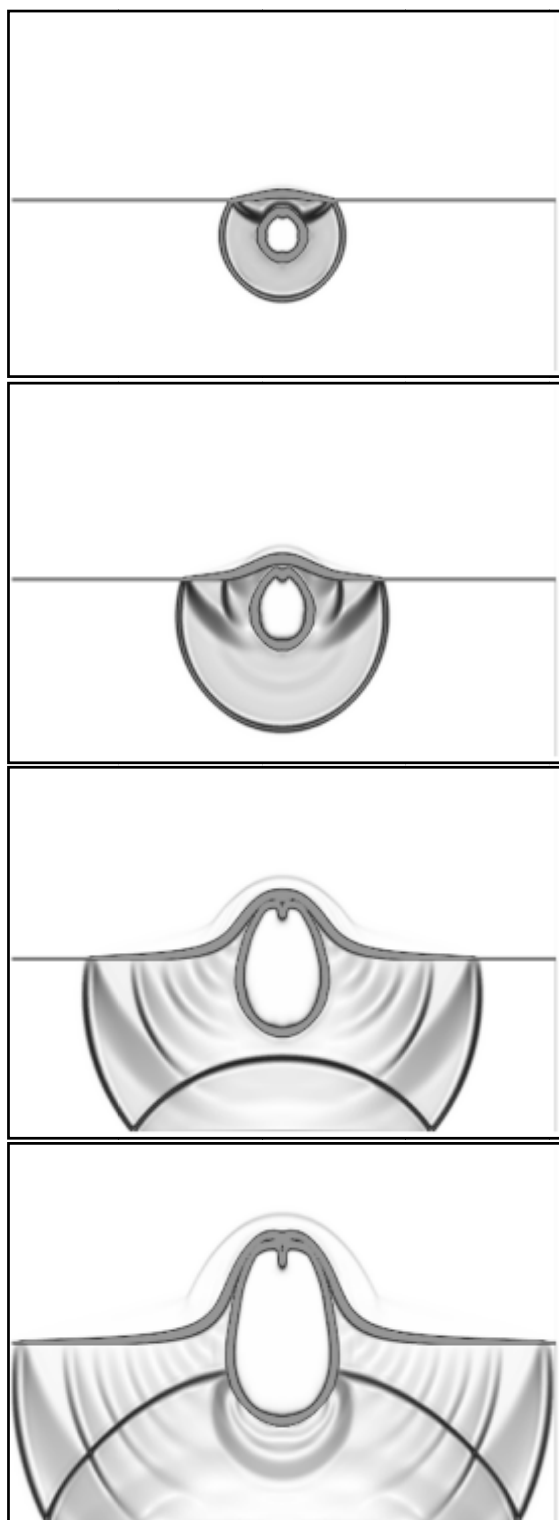
فشار حاصل از انفجار براساس نتایج تجربی [۲۰] معادل  $10^9 Pa$  است. دامنه محاسباتی شامل یک میدان مربعی به بعد  $m^2 \times 0/35 \times 0/35$  است. در زمان  $t=0.8$  سطح آزاد افقی آب در موقعیت  $m=0/175$  قرار دارد. ماده منفرجه در عمق  $0/125$  متر زیر سطح آزاد قرار دارد. شرط مرزی کف شامل دیواره جامد و شرایط مرزی بالایی، چپ و راست به صورت غیرانعکاسی درنظر گرفته شد. در شکل ۳ نتایج مطالعه استقلال جواب‌ها از تعداد شبکه نشان داده شده است. در این شکل تغییرات زمانی فشار در زمان‌های مختلف در یک نقطه زیر محل انفجار با مختصات  $(0/0875m, 0/175m)$  ارائه شده است. همان‌طور که مشاهده می‌شود، به ازای تعداد شبکه بیشتر از  $400 \times 400$ ، تغییرات معنی‌داری در جواب ظاهر نشده و لذا همین تعداد شبکه در محاسبات بعدی این مسئله به کار برده شد. همچنین، همان‌طور که دیده می‌شود، هیچ‌گونه نوسان ناخواسته عددی در جواب دیده نمی‌شود که این امر به واسطه هیبروبولیک‌بودن مدل دوسیالی و مناسب‌بودن روش عددی است. در شکل ۴ مقایسه نتایج عددی در زمان‌های مختلف به صورت تصویر شلرین (گرادیان چگالی) با نتایج تجربی [۲۰] ارائه شده است. تطابق کیفی خوبی بین نتایج شبیه‌سازی عددی و نتایج تجربی مشاهده می‌شود. کانتور توزیع فشار در زمان‌های  $14$  و  $42$  میکرو‌ثانیه در شکل ۵ نمایش داده شده است. همان‌طور که دیده می‌شود، یک ناحیه کاویتاسیون نسبتاً وسیعی در زیر سطح ایجاد شده که فشار در این ناحیه بین صفر تا  $2000$  پاسکال است. پس از وقوع انفجار، یک موج ضربه‌ای قوی به صورت شعاعی درون آب منتشر می‌شود. این موج ضربه‌ای قوی به سطح آزاد اصابت می‌کند و سبب ایجاد امواج انبساطی انعکاسی پرانتل-مایر می‌شود و مقداری از آن نیز به هوا عبور می‌کند. تنش ایجاد شده به واسطه موج ضربه‌ای منعکس شده و امواج انبساطی انعکاسی از سطح آزاد می‌شود (شکل ۵). در شکل ۶ تاریخچه زمانی فشار در یک نقطه زیر هسته انفجاری و واقع در  $y=0/0625 m$  نشان داده شده است. دو پیک فشاری در شکل ۶ مشاهده می‌شود. پیک اول، به واسطه گذر موج ضربه‌ای اصلی از نقطه مورد نظر، ایجاد شده و پیک دوم به واسطه عبور موج ضربه‌ای ضعیفتر منعکس شده از کف سطح جامد به وجود آمده است.



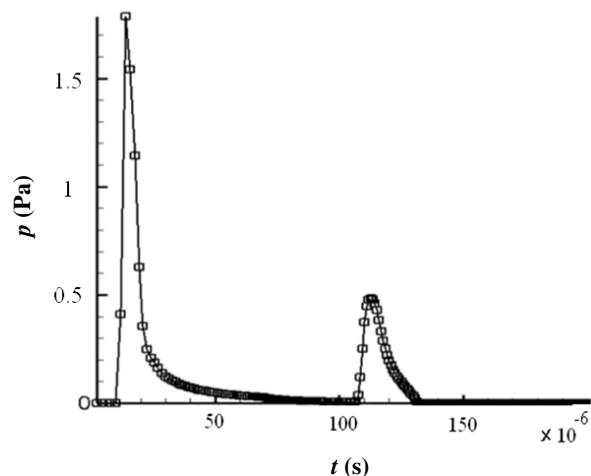
شکل ۴ انفجار زیر آب، گرادیان چگالی بهصورت تصاویر شلرین، سمت چپ نتایج عددی کار حاضر، سمت راست نتایج تجربی مرجع [۱۸]، بهترتیب از بالا به پایین ۱۴ و ۲۸ و ۴۲ میکرو ثانیه



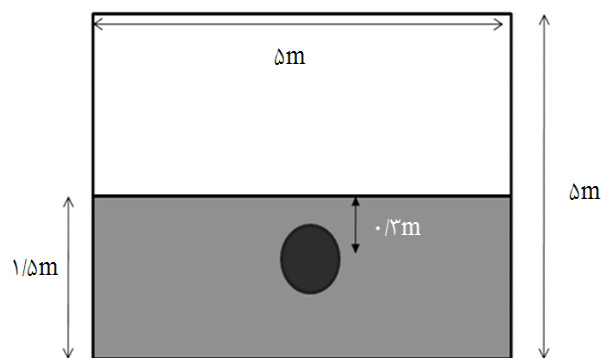
شکل ۵ انفجار زیر آب، نتایج عددی توزیع فشار بر حسب Pa در زمان‌های ۱۴ و ۴۲ میکرو ثانیه



شکل ۸ نتایج عددی به صورت تصاویر شلرین از انفجار سیلندر هوا در زیر سطح آب در زمان‌های  $0/2$ ،  $0/4$ ،  $0/85$  و  $1/2$  میکروثانیه



شکل ۶ تاریخچه زمانی تغییرات فشار در موقعیت مکانی  $(0/175, 0/0875)$



شکل ۷ طرحواره‌ای از شرایط اولیه و ابعاد میدان حل مسئله انفجار سیلندر پرفشار زیر آب

جدول ۲ ویژگی‌های گاز و مایع و شرایط اولیه برای مسئله انفجار زیر آب با سطح آزاد

$P_\infty$ (Pa)	$P$ (Pa)	$\rho$ (kg/m <sup>3</sup> )	$\gamma$	سیال
0	$10^{11}32$	$1/225$	$1/4$	بالی سطح آزاد
0	$10^9$	$1250$	$1/4$	گاز داخل حباب
$10^{18}6$	$10^{11}32$	$1000$	$4/4$	آب

نتایج عددی به دست آمده فاقد نوسان عددی می‌باشند و با نتایج عددی مرجع [۱۴] تطابق دارد. شایان ذکر است که روش عددی این مقاله از لحاظ زمان اختصاص‌یافته برای حل و کدنویسی کم‌هزینه‌تر از روش‌های لاغرانژی می‌باشد.

- [8] Menikoff K. R., Bdzil J., Son S., Stewart D., "Two-Phase Modeling of DDT in Granular Materials: Reduced Equations." *Physics of Fluids*, Vol. 13, 2001, pp. 3002-3024.
- [9] Saurel R., Petitpas F., Berry R. A., "Simple and Efficient Relaxation Methods for Interfaces Separating Compressible Fluids, Cavitating Flows and Shocks in Multiphase Mixtures", *Journal of Computational Physics*, Vol. 228, No. 5, 2009, pp. 1678-1712.
- [10] انصاری محمدرضا، دارمیزاده عبدالحسین، "شبیه‌سازی عددی متلاشی‌شدن قطره در اثر اصابت موج ضربه‌ای"، مهندسی مکانیک مدرس، دوره ۱۲، شماره ۱، ۱۳۹۱، صص ۴۱-۴۹.
- [11] Murrone A., Guillard H., "A Five-Equation Reduced Model for Compressible Two-Phase Flow Problems", *Journal of Computational Physics*, Vol. 202, No. 2, 2005, pp. 664-698.
- [12] Kreeft J. J., Koren B., "A New Formulation of Kapila's Five-Equation Model for Compressible Two-Fluid Flow, and its Numerical Treatment", *Journal of Computational Physics*, Vol. 229, 2003, pp. 6220-6242.
- [13] Qamar S., Ahmed M., "A High Order Kinetic Flux-Vector Splitting Method for the Reduced Five-Equation Model of Compressible Two-Fluid Flows", *Journal Of Computational Physics*, Vol. 228, 2009, pp. 9059-9078.
- [14] Kokh S., Lagoutière F., "An Anti-Diffusive Numerical Scheme for the Simulation of Interfaces between Compressible Fluids by Means of a Five-Equation Model", *Journal of Computational Physics*, Vol. 229, 2010, pp. 2773-2809.
- [15] Deledicque V., Papalexandris M. V., "An Exact Riemann Solver for compressible Two-Phase Flow Models Containing Non-Conservative Products", *Journal of Computational Physics*, Vol. 222, 2007, pp. 217-245.
- [16] Toro E. F., *Solvers and Numerical Methods for Fluid Dynamics*, Springer, Berlin, 1999.
- [17] Tokareva S. A., Toro E. F., "HLLC-Type Riemann Solver for the Baer-Nunziato Equations of Compressible Two-Phase Flow", *Journal of Computational Physics*, Vol. 229, 2010, pp. 3573-604.
- [18] Costanzo F. A., "Underwater Explosion Phenomena and Shock Physics", *Proceedings of the IMAC-XXVIII*, Florida USA, February 2010.
- [19] Xie W. F., Liu T. G., Khoo B. C., "Application of a One-Fluid Model for Large Scale Homogeneous Unsteady Cavitation: The Modified Schmidt Model", *Computers & Fluids*, Vol. 35, 2006, pp. 1177-1192.
- [20] Kleine H., Tepper S., Takehara K., Etoh T. G., Hiraki K., "Cavitation Induced by Low-Speed Underwater Impact", *Shock Waves*, Vol. 19, 2009, pp. 895-900.

## ۵- جمع‌بندی و نتیجه‌گیری

در این تحقیق، انفجار زیرسطحی با درنظر گرفتن سطح آزاد آب با استفاده از مدل دوسیالی پنج معادله‌ای کاپیلا و روش عددی گودونوف بررسی شد. در پدیده انفجار زیرسطحی، با لحظه‌گردان اندرکنش با سطح آزاد، در اثر برخورد موج ضربه‌ای به سطح آزاد و انعکاس امواج انبساطی به‌سمت داخل آب ناحیه کاویتاسیون ایجاد می‌شود. در ناحیه کاویتاسیون فشار به‌شدت کاهش می‌یابد، بهنحوی که معادلات حالت معمولی قادر به پیش‌بینی فشار در این نواحی نیستند و مقدار فشار، به‌صورت خطا، منفی می‌شود. با منفی‌شدن فشار، امکان محاسبه سرعت صوت از بین رفته و کد از حل خارج می‌شود. برای رفع این مشکل در این پژوهش برای اولین‌بار مدل کاویتاسیون اصلاح شده اشميit، که قبلاً برای مدل‌های تک‌سيالی به کار برده می‌شد، برای مدل دوسیالی پنج معادله‌ای استفاده شد. فضول مشترک گاز-آب و هو-آب با دقت خوب و بدون نوسان تسخیر شده و میدان فشار پیچیده، با تغییرات شدید فشاری از نزدیک به صفر تا  $10^9 \text{ Pa}$ ، با دقت خوبی محاسبه شد. نتایج عددی هم‌خوانی خوبی با نتایج تجربی موجود و کارهای عددی دیگران دارد.

## ۶- مراجع

- [1] Kedrinskii V. K., *Hydrodynamics of Explosion: Experiments and Models*, Springer, Berlin, 2004.
- [2] Xie W. F. et al, "The Simulation of Cavitating Flows Induced by Underwater Shock and Free Surface Interaction", *Applied Numerical Mathematics*, Vol. 57, 2007, pp. 734-745.
- [3] McCoy R. W., Sun C. T., "Fluid-Structure Interaction Analysis of a Thick-Section Composite Cylinder Subjected to Underwater Blast Loading", *Composite Structures*, Vol. 37, No. 1, 1997, pp. 45-55.
- [4] Pishevar A. R., Amirifar R., "An Adaptive ALE Method for Underwater Explosion Simulations Including Cavitation", *Shock Waves*, Vol. 20, 2010, pp. 425-439.
- [5] Terashima H., Tryggvason G., "A Front-Tracking/Ghost-Fluid Method for Fluid Interfaces in Compressible Flows", *Journal of Computational Physics*, Vol. 228, 2009, pp. 4012-4037.
- [6] Terashima H., Tryggvason G., "A Front-Tracking Method with Projected Interface Conditions for Compressible Multi-Fluid Flows", *Computers & Fluids*, Vol. 39, 2010, pp. 1804-1814.
- [7] Liu M. B., Liu G. R., Lam K. Y., Zong Z., "Smoothed Particle Hydrodynamics for Numerical Simulation of Underwater Explosion", *Computational Mechanics*, Vol. 30, 2003, pp. 106-118.